

تحلیل آماری انتشار روزنه‌داران در رمپ ائوسن در بلوک لوت، شرق ایران

سید احمد بابازاده، دانشیار گروه زمین‌شناسی دانشگاه پیام نور

مصطفی یوسفی‌راد، استادیار گروه زمین‌شناسی دانشگاه پیام نور*

چکیده

هدف از این مطالعه بررسی آماری انتشار روزنه‌داران کف زی و تفسیر محیط رسوب‌گذاری و رخساره‌های موجود در توالی ائوسن زیرین منطقه شرق بلوک لوت می‌باشد. با این منظور برشی در شمال غرب شهرستان خوسف واقع در شمال شرقی روستای کلاته رود انتخاب شد. پس از آن مقاطع میکروسکوپی تهیه شد و پس از شناسایی رخساره‌های زیستی و انواع روزنه‌داران نسبت به شمارش و تعیین درصد حضور انواع روزنه‌داران در هر یک از انواع ریز رخساره‌های شناسایی شده اقدام شد. نتایج این مطالعه نشان می‌دهد که در رخساره‌های مربوط به رمپ ائوسن منطقه ده ریزرخساره MF1, MF2, MF3, MF4, MF5, MF6, MF7, MF8, MF9, MF10 وجود دارد. رخساره‌های MF1, MF2, MF3 مربوط به قسمت بالایی زون فوتیک فوقانی، ریزرخساره‌های MF4, MF5, MF6, MF7 مربوط به قسمت‌های تحتانی زون فوقانی از رخساره‌های داخلی تر رمپ داخلی و ریزرخساره‌های MF9 و MF10 متعلق به بخش زیرین Foreslope هستند. با توجه به نحوه توزیع روزنه‌داران، انواع با پوسته پورسلانوز در لاگون و قسمت‌های داخلی تر لاگون با شوری بیشتر قرار می‌گیرند. آلئولین در لاگون باز و شول‌های نومولیتیک به همراه نومولیت‌های گلبولی متوسط قرار می‌گیرند. به سمت دریای آزاد و قسمت‌های عمیق از میزان فراوانی روزنه‌داران پورسلانوزی کاسته شده و به میزان فراوانی روزنه‌داران با پوسته هیالین اضافه می‌شود. واژه‌های کلیدی: ائوسن زیرین، رمپ، بلوک لوت.

مقدمه

در طول سنوزوئیک آغازی و به دنبال از بین رفتن تجمعات مرجان - رودوسیت در اواخر کرتاسه، نومولیتیدها (نومولیتس، آسلینا، اپرکولینا)، ارتوفراگمینوئید (دیسکوسیکلینا و ...)، آلوئولینید (آلوئولینا) که جزء فرامینفرهای بتتیک بزرگ (LBF) هستند در پلاتفرم‌های کربناته تتیس و آب‌های گرم و کم عمق الیگوتروفیک افزایش یافته‌اند (Buxton and Pedley 1989).

نومولیت‌ها در پالئوسن تا رسوبات ائوسن بالایی مدیترانه و شبه‌جزیره عربستان فراوان هستند، تا جایی که آهک‌های نومولیتیک مخازن هیدروکربنی را در سواحل هند و آفریقای شمالی تشکیل می‌دهند و در خاورمیانه نیز پتانسیل اکتشافی دارند ((Beavington-Penney and Racey 2004).

با توجه به آنکه ایران در مسیر دریای تتیس قرار گرفته است و منطقه شرق ایران یکی از مناطقی است که در آن نهشته‌های دوران سوم و پالئوژن به طور گسترده در حوزه عمیق اقیانوسی و پلاتفرم دریای گرم و کم عمق در عرض‌های پایین جغرافیایی دیده می‌شود، فرامینفرهای بتتیک شامل رده‌های روتالینا و میلیولینا با تنوع و فراوانی در این منطقه مشاهده می‌شوند.

در سال‌های اخیر مطالعات متعدد و گسترده‌ای بر روی رمپ‌های سن پالئوسن - ائوسن صورت گرفته است (Rasser et al. 2005; Racey et al. 2001). همچنین مطالعات زیادی در زمینه تغییرات ریخت‌شناسی مرتبط با تغییرات عمق زیستگاه روزنه‌داران انجام شده است (Hallock and Gelell 1986, Hottinger 2000). عوامل زیستی و غیر زیستی در انتشار روزنه‌داران بتتیک در رمپ‌های همو کلینال کربناته تأثیر می‌گذارد از جمله نور، دما، تحرک آب، شوری، اکسیژن محلول در آب. علت اصلی تفاوت انتشار روزنه‌داران بتتیک را می‌توان توانایی

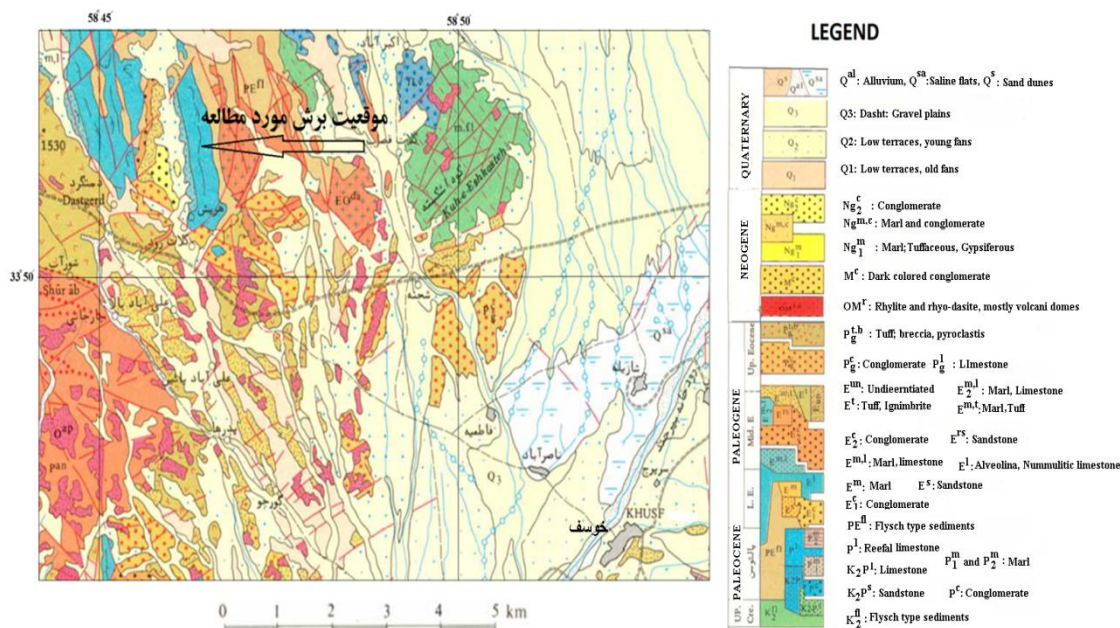
سازگاری زیستی جانور با تغییر شکلی و ضخامت در پوسته با توجه به عمق آب و نوع بهره‌برداری از همزیستی جلبکی و میزان تغذیه آنها دانست (Hottinger 1983, Murray 1991, Pomar et al. 2004).

هدف از این مطالعه بررسی آماری حضور انواع روزنه‌داران و تفسیر محیط رسوب‌گذاری رخساره‌های موجود در برش کلاته رود در منطقه خوسف واقع در بلوک لوت می‌باشد. برش مورد مطالعه در شرق بلوک لوت در غرب شهرستان خوسف (غرب بیرجند) قرار دارد. این برش در شمال شرقی روستای کلاته رود با مختصات جغرافیایی طول شرقی $17^{\circ} 46'$ ، 58° و عرض شمالی 20° و $52'$ و 33° واقع شده است (شکل ۱). این منطقه براساس آنالیز حضور روزنه‌داران و ریزرخساره‌ها مورد بررسی قرار گرفت.

روش

از توالی ائوسن زیرین مورد مطالعه ۵۴ نمونه سنگی برداشت شد که از این تعداد ۵۱ نمونه حاوی انواع روزنه‌داران مورد بررسی قرار گرفت. در این مطالعه پس از تهیه مقاطع میکروسکوپی، ریز رخساره‌ها به روش دانه‌ام (۱۹۶۲) و رخساره‌ها و محیط رسوبی مربوطه اساس روش (Flugle 2010) تعیین شد. انواع روزنه‌داران نسبت به شمارش و تعیین درصد حضور انواع روزنه‌داران در هر یک از انواع ریز رخساره‌های شناسایی شده اقدام شد.

پس از آن براساس نمودارهای سه تایی (Murray 1973)، موقعیت هر یک از ریزرخساره‌ها براساس درصد حضور انواع روزنه‌داران شناسایی و محیط‌رسوبی مربوطه تجزیه و تحلیل قرار گرفت.



شکل ۱- نقشه زمین‌شناسی برش مورد مطالعه در شمال غرب خوسف (وحدتی ۱۳۶۳)

بحث

۵- مارن و ماسه سنگ: این لایه به ضخامت ۳ متر از جنس مارن ماسه سنگ به رنگ قهوه‌ای روشن است که فاقد فسیل فرامینفری می‌باشد.

۶- آهک توده‌ای: این واحد به صورت آهک توده‌ای خاکستری روشن به ضخامت ۱۷ متر در سطح زمین رخنمون دارد.

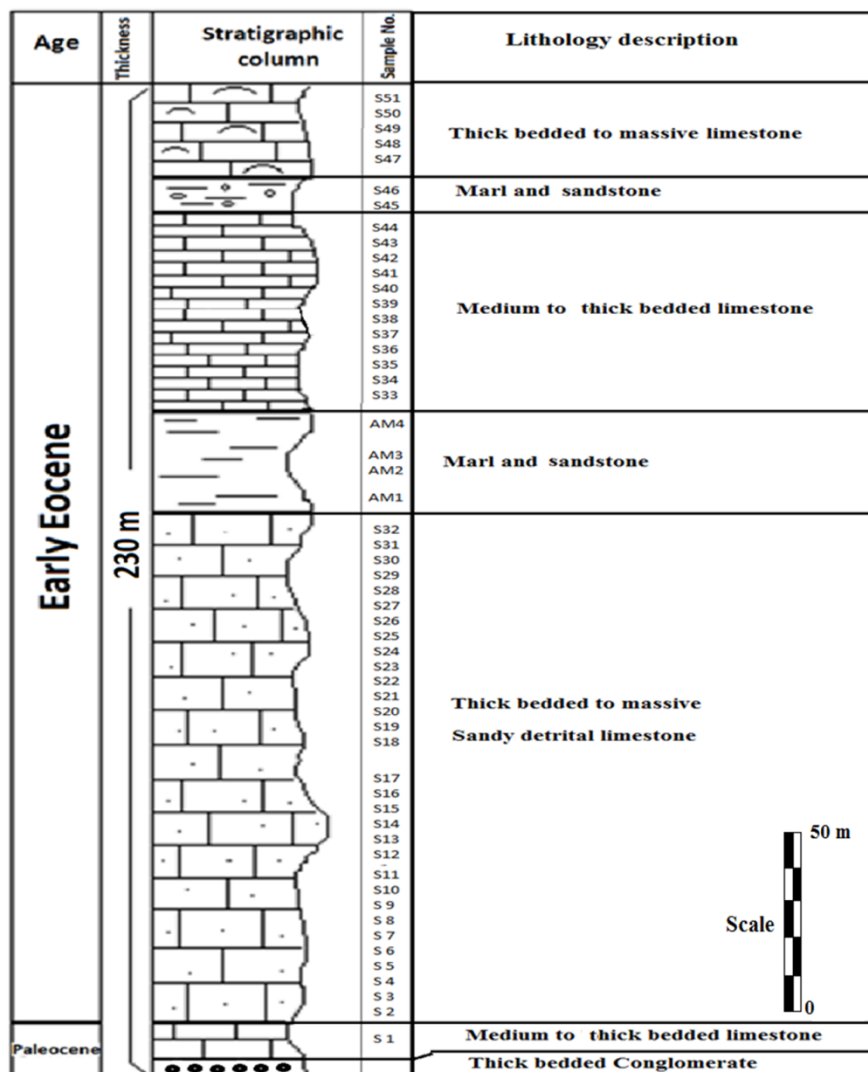
با توجه به جدول ۲ مرز زیرین این واحدهای رسوبی با واحدهای پالئوسن شامل دو لایه به ضخامت سه متر از کنگلومرا (یک متر) و آهک لایه‌ای (دو متر) به سن پالئوسن و مرز بالایی آن توسط آبرفت‌های جوان مشخص می‌باشد. یادآور می‌شود با توجه به آنکه دو واحد مارنی- ماسه سنگی فاقد فسیل می‌باشند، لذا در شکل ۲ شماره نمونه‌های سنگی آنها با علامت دیگری آورده شده و در محاسبات آماری از این واحدهای سنگی استفاده نشده است. ضخامت کلی این واحدهای رسوبی به جزء بخش قاعده ای ۲۳۰ متر می‌باشد (شکل ۲).

از نظر چینه‌شناسی برش مورد مطالعه از شش واحد سنگ شناسی مجزا تشکیل شده است که مشخصات کلی آنها از پایین به بالا به شرح زیر می باشد:

۱- آهک تخریبی ماسه‌دار: بخش آهک تخریبی ماسه‌دار ضخیم لایه تا توده ای دارای رنگ خاکستری روشن و تیره نودول‌دار می باشد که از نظر تقسیم بندی فولک (۱۹۷۴)، وک لیتیک محسوب می‌شود. ضخامت این واحد سنگ‌شناسی ۱۵۵ متر است.

۲- مارن و ماسه سنگ: بر روی واحد آهک تخریبی ماسه‌دار، یک توالی به ضخامت ۵۰ متر از مارن و ماسه سنگ به رنگ سبز تا زرد فاقد فسیل‌های فرامینفری قرار دارد.

۴- آهک: این واحد سنگ چینه‌ای عمدتاً از واحدهای متوسط تا ضخیم لایه آهکی تشکیل شده، دارای دو ریزرخساره بیومیکرتی پکستونی و وکستونی است که ضخامت بخش بیومیکرایت پکستون آن ۱۵ متر و بیومیکرایت وکستون ۱۰ متر می‌باشد.

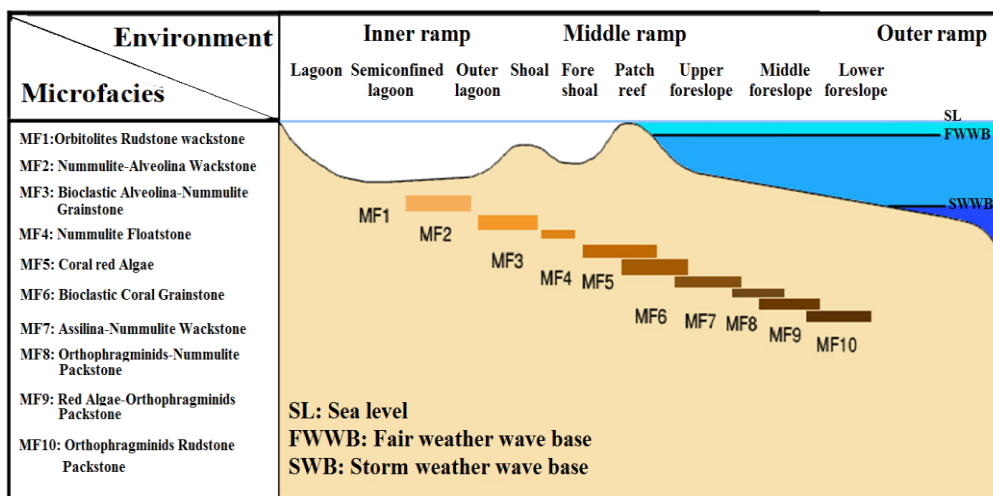
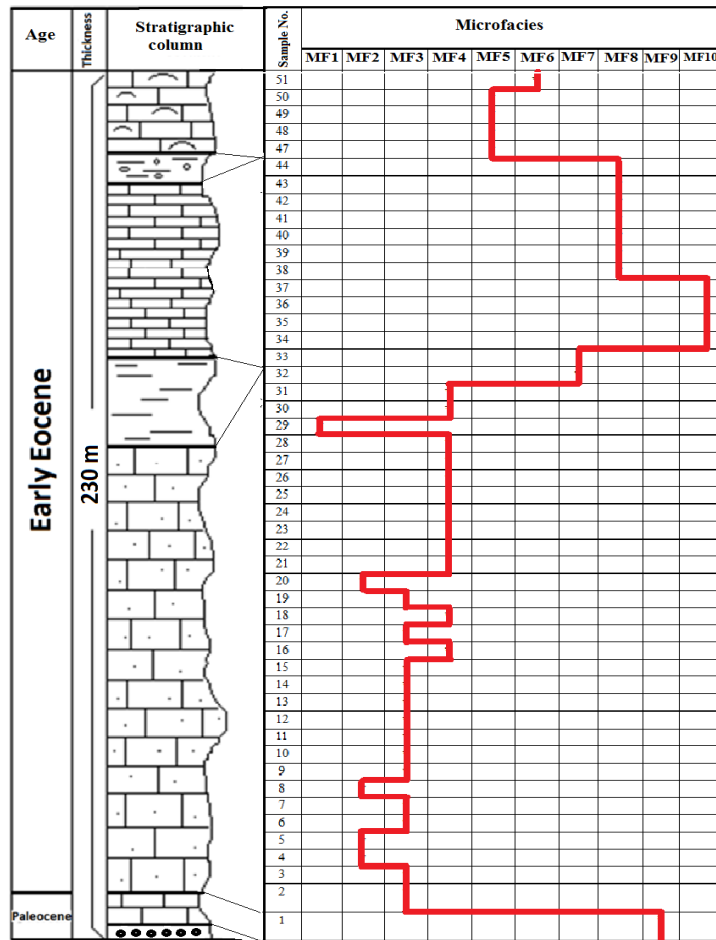


شکل ۲- ستون چینه‌شناسی برش مورد مطالعه

۳) که در این مطالعه توزیع آماری روزنه‌داران در این رسوبات مد نظر بوده و لذا از شرح ریزرخساره‌ها و بررسی محیط‌رسوبی خودداری شده است. نوع ریز رخساره‌ها و موقعیت آنها در این رمپ در شکل ۳ ارائه شده است.

در مطالعاتی که بر روی نمونه‌های سنگی از واحدهای سنگ‌شناسی برش مورد مطالعه انجام شده، ریزرخساره MF1, MF2, MF3, MF4, MF5, MF6, MF7, MF8, MF9, MF10 شناسایی شده است که نتایج آن در جدول ۱ ارائه شده است. بر اساس ریزرخساره‌ها محیط‌رسوبی توالی ائوسن زیرین منطقه از نوع رمپ هموکلینال تشخیص داده شده است (شکل

جدول ۱- توزیع ریزرخساره‌ها در نمونه‌های سنگی



شکل ۳- محیط‌رسوبی و توزیع ریزرخساره‌ها در توالی مورد مطالعه

آنالیز آماری روزنه‌داران در واحدهای سنگ‌شناسی

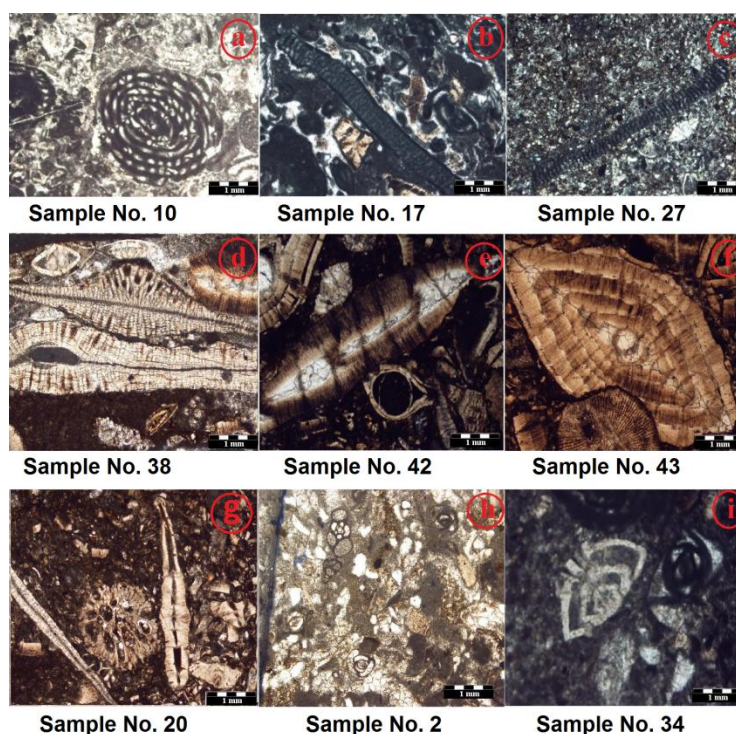
آنالیزهای آماری روزنه‌داران بتتیک رایج‌ترین روش‌های برای تحلیل بوم‌شناسی محیط‌های رسوبی عهد حاضر و دیرینه است (Carnahan et al. 2009; Hallock et al. 2003; Schueth and Frank 2008).

فرامینیفرهای بزرگ به فراوانی در بسیاری از پلاتفرم‌های کربناته نوع سکویی یافت می‌شوند و همچنین یک محدوده وسیع از محیط‌های پلاتفرمی را می‌پوشانند. این جانداران فاکتورهای جهانی و محلی را مانند اکولوژی (دما، شیمی آب و منابع تروفیک)، زمین‌شناسی (سطح آب، تکتونیک صفحه‌ای) و فیلوژنی (فراوانی، انقراض) را نشان می‌دهند. تنوع این پارامترها ترکیب ارگانیکی و جانداران را نشان

می‌دهد (Cosovic et al. 2004; Barattolo et al. 2007).

براساس فراوانی فرامینیفرهای بتتیک بزرگ شامل نومولیت، آلوئولین، دیسکوسیکلینا، آسلینا، آپرتواربیتولیتس، اربیتولیتس و نیز فرامینیفرهای بتتیک کوچک شامل میلیولید و روتالیاها به همراه جلبک‌های کورالین، مرجان‌ها و اکتینوئیدها در این برش چینه‌شناسی آنالیزهای آماری لازم انجام شده است. تصاویری از برخی روزنه‌داران شناسایی شده در توالی مورد مطالعه در شکل ۴ ارائه شده است.

جدول ۲ نیز درصد حضور انواع روزنه‌داران با پوسته هیالین، پورسلانوز و آگلوتینه را در هر یک از نمونه‌های سنگی که از آنها مقطع میکروسکوپی تهیه شده است، نشان می‌دهد.



شکل ۴- نمونه‌هایی از روزنه‌داران بتتیک منطقه مورد مطالعه (شماره نمونه‌های سنگی در زیر تصاویر آورده شده است)

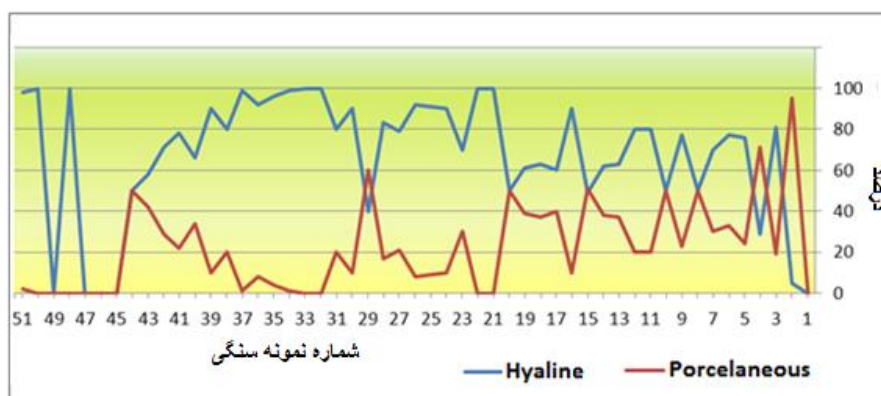
a, *Aveolona* sp. ; b, *Opertorbitolites* sp. ; c, *Orbitolites* sp.; d, *Discocyclina dispansa*; e, *Assilina* sp.; f, *Nummulites atacicus*; g, *Operculina* sp.; h, *Miliolids*; i, *Rotalia* sp.

جدول ۲- درصد حضور انواع روزنه‌داران بتئیک در توالی ائوسن زیرین برش مورد مطالعه

Sample No.	Nummulites	Assilina	Rotalia	Discocyclina	Actinocyclus	Lockhartia	Operculina	Cuvileria	Miliolites	Orbitolites	Opert orbitolites	Alveolina	Textularia	Red Alga	Echinoid	Coral
1	0	0	0	44	0	0	0	0	0	0	0	0	0	33	0	0
2	5	0	0	0	0	0	0	0	11	0	0	83	0	1	0	0
3	81	0	0	0	0	0	0	0	0	0	0	19	0	0	0	0
4	27	0	0	0	0	0	0	0	2	5	0	61	5	0	0	0
5	73	0	0	0	0	0	0	0	4	0	0	22	1	0	0	0
6	65	0	0	0	0	0	0	0	2	0	0	33	0	0	0	0
7	70	0	0	0	0	0	0	0	0	0	0	30	0	0	0	0
8	50	0	0	0	0	0	0	0	4	0	0	45	1	0	0	0
9	75	0	0	0	0	0	0	0	2	0	0	23	0	0	0	0
10	50	0	0	0	0	0	0	0	2	0	0	48	0	0	0	0
11	78	0	0	2	0	0	0	0	0	4	0	16	0	0	0	0
12	80	0	0	0	0	0	0	0	0	0	0	20	0	0	0	0
13	64	0	0	0	0	0	0	0	1	0	0	35	0	0	0	0
14	62	0	0	0	0	0	0	0	0	0	0	38	0	0	0	0
15	49	0	0	0	0	0	0	0	0	0	0	51	0	0	0	0
16	85	0	0	0	0	0	0	0	4	2	0	8	1	0	0	0
17	48	0	0	4	0	0	0	0	8	24	4	0	0	0	12	0
18	59	0	0	3	0	0	0	0	6	18	0	5	0	0	8	0
19	62	0	0	0	0	0	0	0	3	0	0	35	0	0	0	0
20	45	0	4	0	0	0	1	0	8	0	0	41	1	0	0	0
21	90	0	0	0	0	10	0	0	0	0	0	0	0	0	0	0
22	72	0	0	0	0	0	0	14	0	0	0	0	14	0	0	0
23	71	0	0	0	0	0	0	0	8	0	0	18	0	0	3	0
24	88	0	0	0	0	0	0	0	0	7	0	4	0	0	1	0
25	88	0	2	0	0	3	0	0	2	2	0	2	0	0	1	0
26	60	0	0	0	0	5	0	0	0	10	0	0	0	0	25	0
27	74	0	2	0	0	0	0	0	0	14	2	5	0	0	3	0
28	74	0	3	0	0	5	0	0	3	12	0	0	0	0	3	0
29	37	0	4	0	0	0	0	0	18	38	0	0	1	2	0	0
30	94	0	0	0	0	0	0	0	1	0	0	5	0	0	2	0
31	71	0	2	0	0	0	2	0	10	6	0	7	2	0	0	0
32	57	31	9	0	0	8	2	0	0	0	0	0	0	0	0	0
33	68	15	0	2	0	10	5	0	0	0	0	0	0	0	0	0
34	32	1	1	65	0	0	0	0	0	0	0	1	0	0	0	0
35	57	0	0	41	0	0	0	0	0	0	0	3	0	0	0	0
36	67	0	1	32	0	0	0	0	0	0	0	0	0	0	0	0
37	45	0	1	49	1	0	0	0	0	0	0	1	0	0	0	0
38	62	2	0	26	0	0	0	0	5	0	0	14	1	0	0	0
39	38	0	0	53	0	1	0	0	2	0	0	7	0	0	0	0
40	30	0	3	39	0	5	0	0	7	0	0	13	0	0	0	0
41	52	0	2	32	0	0	0	0	2	0	0	10	0	0	0	0
42	58	3	2	19	0	0	0	0	2	0	0	16	0	0	0	0
43	39	0	4	8	0	0	0	0	7	0	0	37	0	0	0	0
44	0	0	0	0	0	0	0	0	0	0	0	0	0	0	0	0
45	0	0	0	0	0	0	0	0	0	0	0	0	0	0	0	0
46	0	0	0	0	0	0	0	0	0	0	0	0	0	0	0	0
47	0	0	0	0	0	0	0	0	0	0	0	0	0	0	0	100
48	62	0	14	5	14	0	0	5	0	0	0	0	0	0	0	0
49	0	0	0	0	0	0	0	0	0	0	0	0	0	0	0	100
50	85	0	0	0	0	0	0	0	0	0	0	0	0	0	0	15
51	55	5	2	30	0	0	0	5	1	0	0	2	0	0	0	0

معمولاً حضور دو نوع روزنه‌داران یا پوسته هیالین و پورسلانوز در تضاد با یکدیگر می‌باشد که خود بیانگر تفاوت در شرایط محیطی و سازگاری محیطی آنها نسبت به هم دارد است (Hallock and Gelell 1986; Hottinger 2000).

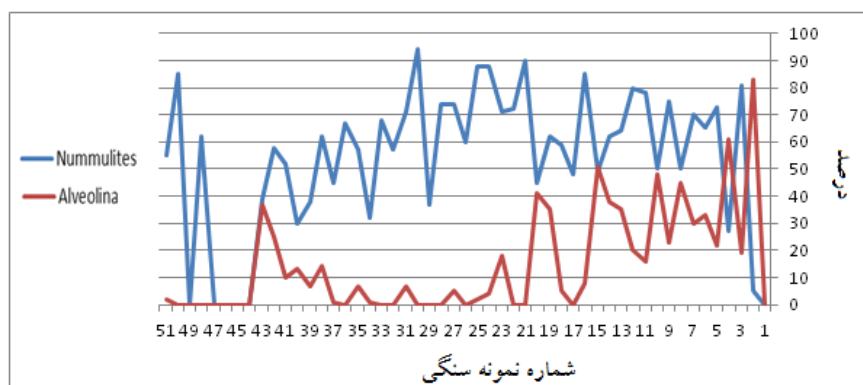
در شکل‌های ۹-۵ نسبت شمارشی روزنه‌داران بتتیک در رخساره‌های منطقه مورد مطالعه مشاهده می‌شود. شکل ۵ تغییرات روزنه‌داران پورسلانوز و هیالین در نمونه‌های سنگی را نشان می‌دهد. همان‌طور که در این شکل مشاهده می‌شود



شکل ۵- بررسی درصد تغییرات روزنه‌داران پورسلانوز و هیالین در واحدها سنگ‌شناسی برش مورد مطالعه

معکوس با یکدیگر دارند. نسبت نومولیت به آلئولین N/A نشان‌دهنده لاگون باز از سد (بیوکلاستی، پیچ ریف و بانک‌های نومولیتیک) می‌باشد. آلئولین و نومولیت در محیط‌های مجازی رشد و نمو می‌کنند (Hottinger 1983). لذا افزایش درصد حضور آلئولینا در نمونه‌های سنگی محیط تشکیل آنها را به سمت محیط لاگون می‌کشاند (Hallock and Gelell 1986, Hottinger 2000).

همان‌طور که در شکل ۵ مشاهده می‌شود تغییرات فراوانی نمونه‌های پورسلانوز و هیالین تا نمونه سنگی ۴۴ بر خلاف یکدیگر تغییر می‌کنند، ولی از نمونه ۴۵ و بعد از آن فراوانی پورسلانوز در مقدار ناچیزی باقی می‌ماند ولی مقادیر هیالین بین حداقل و حداکثر مقدار موجود نوسان دارد. یادآور می‌شود نمونه‌هایی ۴۴ و ۴۵ مارتی بوده و فاقد فسیل هستند. شکل ۶ نشان می‌دهد که تغییرات فراوانی نومولیت و آلئولینا در نمونه‌های سنگی برش منطقه مورد مطالعه رابطه

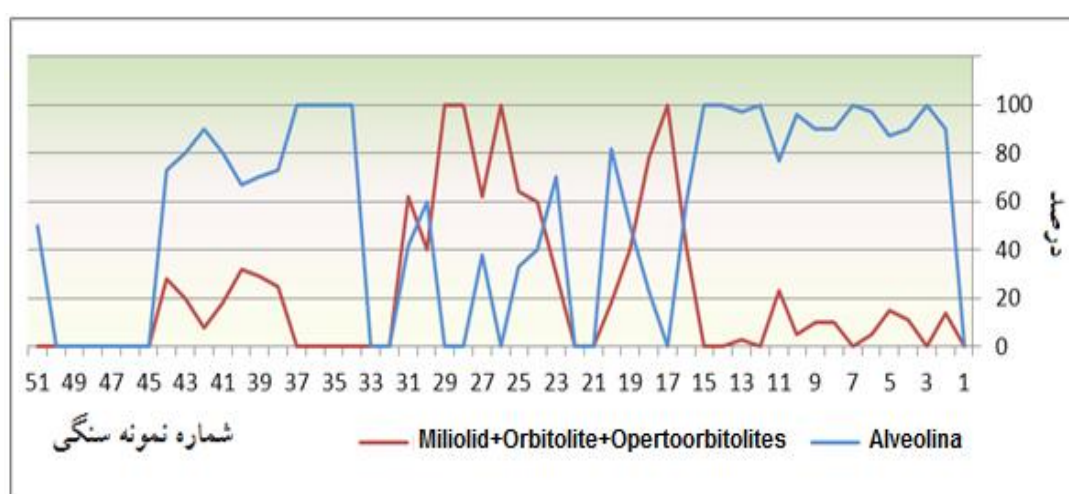


شکل ۶- روند تغییرات روزنه‌داران نومولیت و آلئولین در نمونه‌های سنگی

لاگون باز می‌باشد. آلئولین‌ها فونای مهم شرکت‌کننده در رسوبات آب‌های آزاد پلاتفرم داخلی هستند. آنها کمی دامنه عمیقی عمیقتر از اربیتولیت‌ها دارند (Hottinger 1983). در شکل ۷ مشاهده می‌شود که مقادیر اربیتولیتس، میلیولید، اپرتواربیتولیتس با آلئولین در برش منطقه مورد مطالعه برخلاف یکدیگر تغییر می‌کنند که این وضعیت تغییر از محیط لاگون بسته به یاز را نشان می‌دهد.

در شکل ۶ نیز مشاهده می‌شود که تغییرات فراوانی نومولیت و آلئولین در نمونه‌های سنگی برش منطقه مورد مطالعه تغییراتی همانند مقادیر پورسلانوز و هیالین دارند و تا نمونه شماره ۴۴ تغییراتی عکس یکدیگر را دارند و در نمونه‌های بعد مقدار آلئولین ناچیز و مقادیر نومولیت بین مقدار حداقل و حد اکثر تغییر می‌کند.

نسبت اربیتولیتس، میلیولید و اپرتواربیتولیتس به آلئولین $(M+Or+Op/A)$ نشان‌دهنده قسمت‌های داخلی‌تر لاگون از



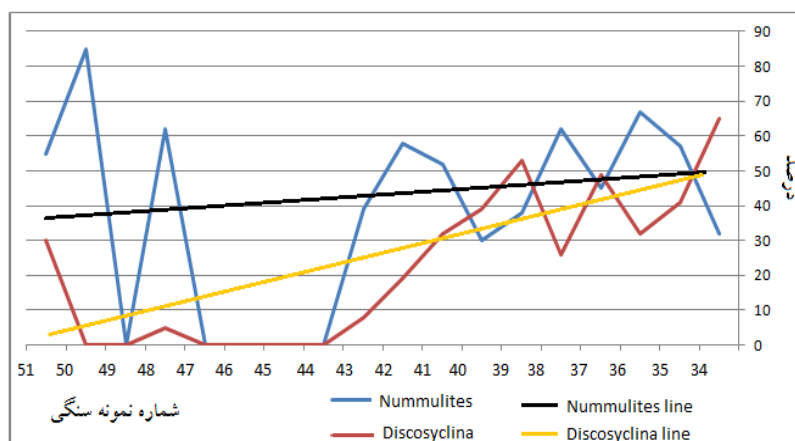
شکل ۷- روند تغییرات روزنه‌داران میلیولید، اربیتولیتس و اپرتواربیتولیتس و آلئولین در نمونه‌های سنگی

نشان داده می‌شود (Cosovic et al. 2004). ریزرخساره‌های واجد انواع دیسکوسیکلینیده تحت شرایط انرژی پائین و در بالای قاعده امواج عادی (FWWB) در محل رمپ میانی تشکیل می‌شوند. در شکل ۸ مشاهده می‌شود که روند تغییرات فراوانی، نومولیت و دیسکو سکلینا در توالی مورد مطالعه در نمونه‌های ۳۴ تا ۴۴ روندی خلاف یکدیگر دارند.

در شکل ۸ روشن است که فراوانی نومولیت و دیسکوسیکلینا در منطقه از واحد ۴۴ تا واحد ۵۱، تغییراتی نامعین و بدون روند خاصی را نشان می‌دهد. از خطوط زرد و سیاه رنگ روی نمودار که میانگین تغییرات فراوانی روزنبران را نشان می‌دهند، مشخص می‌شود که مقادیر هر دو گروه از روزنبران از واحد ۳۴ تا ۵۱ روندی کاهشی دارند که این مقدار برای دیسکوسیکلینا کاهش بیشتری را نشان می‌دهد.

همچنین در شکل ۷ مشاهده می‌شود که تغییر مقادیر میلیولید، اربیتولیتس و اپرتواربیتولیتس نسبت به آلئولین در نمونه‌های ۳ تا ۲۱، ۲۳ تا ۳۲ و ۳۴ تا ۴۴ تغییراتی عکس همدیگر را داشته‌اند و در نمونه‌های ۱، ۲۱ تا ۲۲ و ۳۲ تا ۳۳ و ۴۵ تا ۵۰ مقادیر آنها به حداقل رسیده است. این شرایط بیانگر تفاوت محیط و رخساره هریک از نمونه‌های فوق است که در جدول ۱ نشان داده شده است.

نسبت نومولیت به دیسکوسیکلین (N/D) و آستروسیکلینا و اکتینو سیکلینا به دیسکوسیکلین $(A+A/D)$ نشان‌دهنده محیط‌های با عمق کمتر رمپ میانی با افزایش نسبت نومولیت و آستروسیکلینا و آسلینا همراه است. رمپ میانی کم عمق‌تر بوسیله نومولیت‌های گلبولی شکل با درصد بالاتر و آسلینا و ارتوفراگمینیدهای قطور (آستروسیکلینا)



شکل ۸- روند تغییرات فراوانی نومولیت و دیسکوسیکلینا در واحدهای سنگ‌شناسی منطقه مورد مطالعه

همراه پلانکتون‌ها دیده می‌شوند.

آنالیز آماری روزنه‌داران در ریزرخساره‌ها

بررسی آماری حضور روزنه‌داران با پوسته‌های هیالین، پورسلانوز و آگلوتینه در برش مطالعه تحلیل‌های جالبی از شرایط محیط‌رسوبی ائوسن زیرین در منطقه در اختیار قرار می‌دهد. بر این اساس شمارش و درصدبندی حضور انواع روزنه‌داران در ریزرخساره‌های شناسایی شده انجام شد که نتایج آن در جدول ۳ ارائه شده است.

براساس شکل ۸، افزایش نسبت دیسکوسیکلین بیانگر

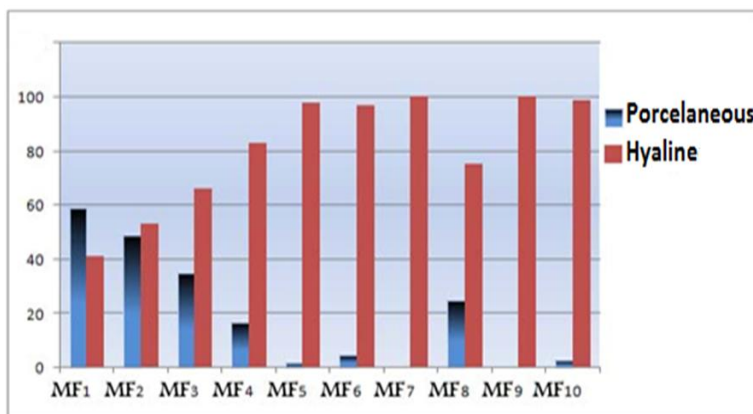
عمیق‌تر شدن آب در رمپ میانی و خارجی می‌باشد. معمولاً در چنین رخساره‌هایی به همراه ارتو فراگمینیدها آپرکولینیدها و نومولیتیدهای لوزی یا دوکی شکل حضور دارند (Cosovic et al. 2004) و در قسمت‌های عمیق‌تر ابتدای رمپ خارجی اشکال زینی شکل دیسکوسیکلین که دارای پوسته جانبی می‌باشند. افزایش فرم‌های نازک و زینی شکل نشان‌دهنده نزدیک‌تر شدن به حد نهایی ویژگی دامنه عمق آن است (Babazadeh 2010) که نشان‌دهنده بلوغ آنها با تنوع گونه‌ای کم می‌باشد که به

جدول ۳- درصد وجود انواع روزنه‌داران در ریزرخساره‌های برش مورد مطالعه

Microfacies	Hyaline tests							Porcelaneous test					Agglutinated test	Echinoid	Red alga	coral
	Nummulites	Assilina	Rotlia	Discocyclina	Actinocyclina	Lockhartia	Operculina	Cuvileria	Miliolites	Orbitolites	Opertorbitolites	Alveolina				
MF1	37	0	4	0	0	0	0	0	18	39	0	0	1	0	2	0
MF2	46	0	1	0	0	0	3	0	5	1	0	42	2	0	0	0
MF3	61	0	0	5	0	0	0	0	2	1	0	30	1	0	0	0
MF4	79	0	2	0	0	2	0	0	2	8	1	6	0	0	0	0
MF5	34	0	3	9	1	0	0	7	2	0	0	7	0	1	0	0
MF6	44	6	2	27	0	0	0	1	4	0	0	2	0	0	0	0
MF7	57	31	2	0	0	8	2	0	0	0	0	0	0	0	0	0
MF8	37	3	2	23	0	3	0	5	12	0	0	15	0	0	0	0
MF9	30	0	0	40	0	0	0	0	0	0	0	0	0	0	3	0
MF10	41	2	1	52	0	1	0	1	0	0	0	2	0	0	0	0

شده و به میزان فراوانی روزنه‌داران با پوسته هیالین دار اضافه می‌شود.

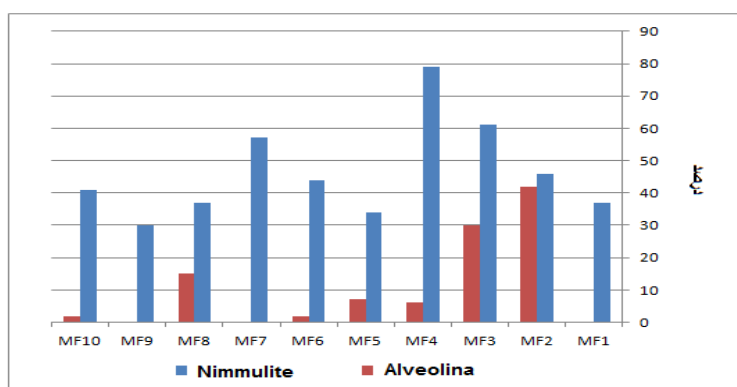
بر اساس جدول ۳ و طبق شکل ۹ هر چه از رخساره‌های داخلی تر رمپ داخلی به سمت دریای آزاد و قسمت‌های عمیق می‌رود از میزان فراوانی روزنه‌داران پورسلانوزی کاسته



شکل ۹- تغییرات انواع روزنه‌داران پورسلانوز و هیالین در ریزرخساره‌ها

حضور آلوئولین‌ها کاسته می‌شود و نسبت نومولیت به آلوئولین افزایش می‌یابد.

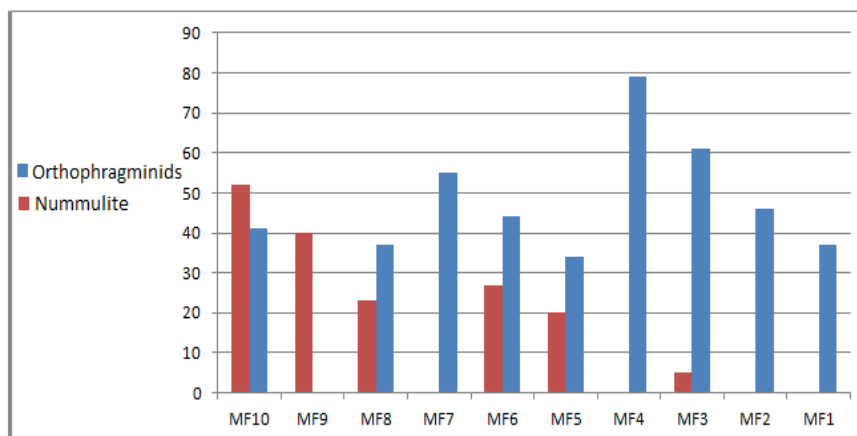
در شکل ۱۰ نیز کاملاً مشهود است که با حرکت به سمت رخساره‌های سدی، فوراسلوپ و دریای باز از درصد



شکل ۱۰- تغییرات درصد حضور آلوئولین و نومولیت در ریزرخساره‌ها

اکتینوسیکلینا، دیسکوسیکلینا و اپرکولینا در قسمت‌های عمیق تر فور اسلوپ تا لاورفوراسلوپ رخساره ۱۰ دارای فراوانی بیشتر می‌باشد. شکل ۱۱ بیانگر حضور قابل توجه روزنه‌داران گروه ارتوفراگمینیده در رخساره‌های ۱۰-۸ می‌باشد.

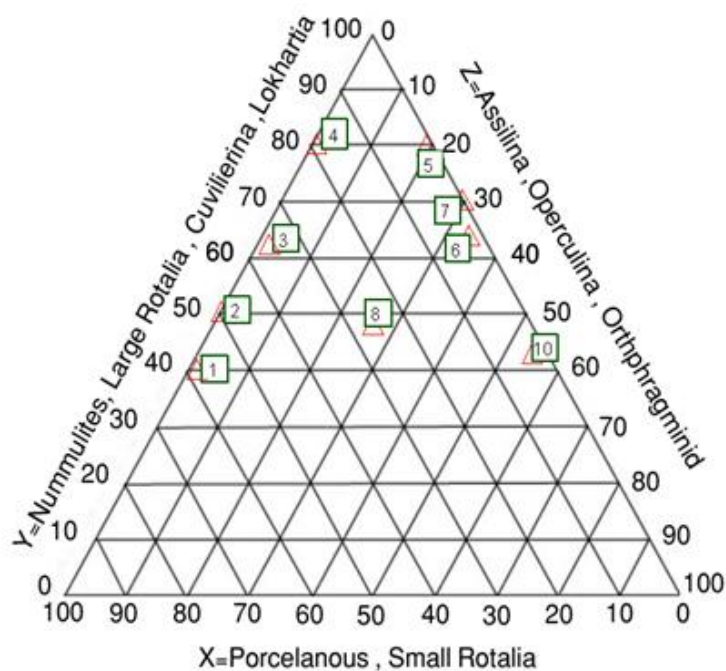
بر اساس دو شکل ۹ و ۱۰ مشخص می‌شود که تجمع نومولیت، روتالیا، کوویلی رینا، لوکارتیا در رخساره‌های مربوط به رخساره‌های سدی (ریف پراکنده و shoal, Fore shoal)، رخساره‌های ۳ و ۴ و ۵ و ۶ و در اپر تا میدل فور اسلوپ در رخساره ۷ و ۸ حضور فراوانتری دارند. تجمع آسلینا به همراه ارتوفراگمینیدا شامل



شکل ۱۱ - تغییر درصد حضور نومولیت در برابر روزنه‌داران ارتوفراگمینید در ریزرخساره‌های برش مورد مطالعه

پورسلانوزی مثل میلیولید، آلوئولین، اربیتولیتس، آپرتواریتولیتس در رخساره‌های مربوط به محیط لاگون رخساره ۲ او حضور فراوان‌تری دارند.

در شکل ۱۲ شاهد حضور سه تجمع روزنه‌داران بتیک در راس هر یک از زوایای مثلث هستیم. با توجه به نتایج به دست آمده تجمع پورسلانوزی یعنی روزنه‌داران با پوسته



شکل ۱۲ - نمودار مثلثی نحوه پراکندگی سه تجمع اصلی روزنه‌داران بتیک در رخساره برش مورد مطالعه

پورسلانوز ها کاهش یافته و مقدار تجمع نومولیت، روتالیا، کوویلی رینا، لوکارتیا اضافه می‌شود و در قسمت‌های عمیق‌تر میزان تجمع آسلینا، ارتوفراگمینیدها، اپرکولینا افزایش

با بررسی درصد حضور سه نوع روزنه‌داران براساس جنس پوسته، به این نتیجه می‌رسیم هرچه از قسمت‌های داخلی لاگون یعنی نزدیک به خشکی دور می‌شویم درصد

می‌یابد.

با توجه به حضور روزنه‌داران پورسلانوزی در بعضی رخساره‌های دریای باز و عدم حضور آنها در دیگر رخساره‌های دریای باز را می‌توان به وجود پچ ریف یا ریف پراکنده با وسعت کم دانست که این شرایط باعث حضور روزنه‌داران پورسلانوزی در بعضی رخساره‌ها مانند رخساره ۸ می‌باشد اما در رخساره ۷ که مانند رخساره ۸ در فور اسلوب قرار دارد فاقد انواع پورسلانوزی می‌باشد که بیانگر عدم قرارگیری این رخساره در محیط ریف پراکنده است.

یافته‌ها

در توالی ائوسن زیرین منطقه مورد مطالعه، ریزرخساره‌های MF1, MF2, MF3 مربوط به قسمت بالایی زون فوتیک فوقانی قرار می‌گیرند. در این رخساره‌ها تنوع گونه‌ای روزنه‌داران بتتیک بیشتر بوده و نومولیت‌ها دارای اشکال گلوبولی شکل با فرم مگالوسفریک (غیر جنسی) به صورت فرم A1 (Schizont) می‌باشند. در آب‌های کم عمق تقسیم به صورت غیر جنسی است (Leutenegger 1984). در این رخساره‌ها نومولیت‌ها دارای پوسته نسبتاً ضخیم تا ضخیم می‌باشد. در این ریزرخساره‌ها روزنه‌داران بتتیک با پوسته پورسلانوزی بسیار فراوان می‌باشند.

ریزرخساره‌های MF4, MF5, MF6, MF7 در قسمت‌های تحتانی زون فوقانی قرار می‌گیرند. این رخساره‌ها هم پیوسته‌های ضخیم و گلوبولی و هم پوسته‌های نازک تخم‌مرغی شکل وجود دارد. توده‌هایی از نومولیت‌های متوسط تا بزرگ عدسی تا گلوبولی شکل تمایل دارند که محیط حد واسط را اشغال کنند (Racy 2001). هر دو فرم A,B در این رخساره‌ها دیده می‌شود (بیشترین فراوانی فرم B در این رخساره‌ها دیده شده است). تولید مثل جنسی فرم B در وقفه‌های متوسط دامنه عمق خاص بیشتر معمول است (Beavington-Penney and Racey 2004). تنوع رخساره‌ای در این رخساره‌ها نسبتاً بالا می‌باشد اما از قسمت فوقانی زون فوتیک

فوقانی دارای تنوع گونه‌ای کمتر و تنوع شکلی بیشتر می‌باشند. در این رخساره‌ها ارتوفراگمینیدها یا پوسته‌های قطور و با تنوع گونه‌ای کم در دیسکوسیکلینا مشاهده شده‌اند. در قسمت بالای زون فوتیک تحتانی پوسته پوسته نومولیت‌ها نازک‌تر شده و اشکال تخم‌مرغی در کنار گلوبولی شکل‌ها قرار می‌گیرند. تنوع جنسی در ارتوفراگمینیدها بالا و تنوع گونه‌ای و شکلی در دیسکوسیکلین‌ها متوسط می‌باشد. هر دو فرم مگالو سفریک و میکرو سفریک وجود دارند. فرم A2 در عمیق‌ترین قسمت یافت می‌شوند به همراه فرم B (Leutenegger 1984). تناوب نسل‌ها غیرجنسی و جنسی تحت شرایط محیطی مساعد معمول‌تر است. فرم مگالوسفریک از نوع (Agamont) فرم A2 می‌باشند.

به طور کلی این رخساره دارای تنوع گونه‌ای بالا و شرایط مناسب تولید مثل و رشد برای روزنه‌داران بتتیک می‌باشد. زیرا میزان نور در حال تعادل بوده، اکسیژن در اختیار روزنه‌داران به میزان لازم وجود داشته، احتمالاً دارای یک منطقه یا لایه غذایی در قسمت فوقانی زون فوتیک تحتانی هستیم. لذا ریزرخساره MF8 در این زون قرار می‌گیرد.

در ریزرخساره MF9 جلبک‌های قرمز، انواع ارتوفراگمینیدهای دیسکی شکل مثل دیسکوسیکلینا به همراه آکتینوسیکلینا و اپرکولینا در یک آهک میکرایتی پکستونی (شکل ۴d) مشاهده می‌شود که بر این اساس این رخساره به قسمت‌های عمیق تر رمپ میانی و Lower foreslope تعلق دارد.

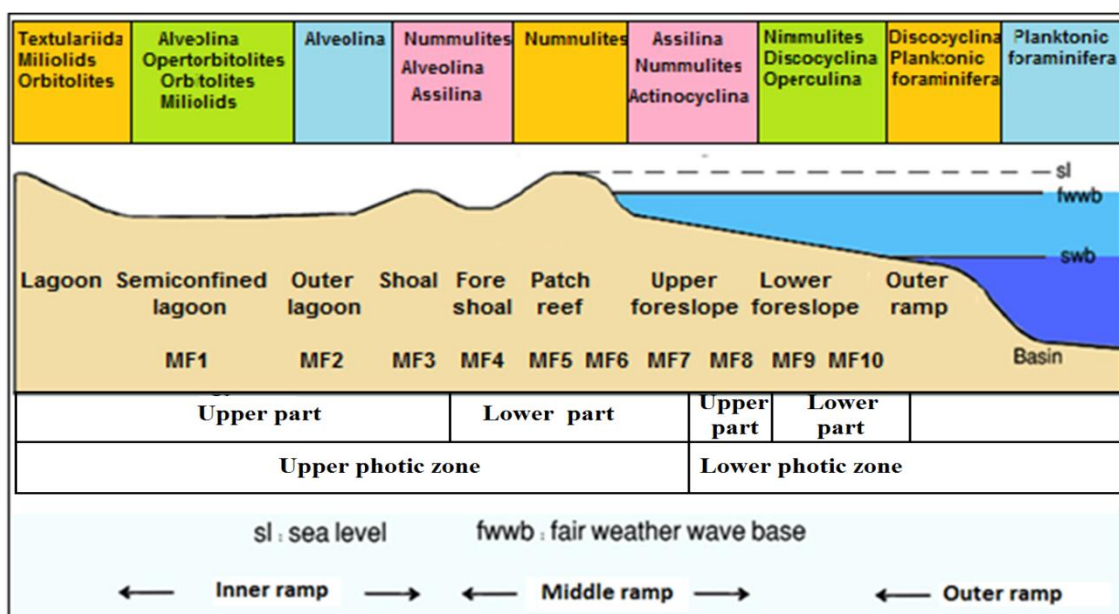
ریزرخساره MF10، در زون فوتیک تحتانی یا Lower foreslope قرار دارد. زیرا در این ریزرخساره ارتوفراگمینیدها غالب بوده و نومولیت‌ها دارای فراوانی بالای اشکال تخم‌مرغی متوسط با پوسته نازک هستند. نسبت فرم A2 به فرم B بیشتر بوده و تنوع گونه‌ای در نومولیت‌ها بسیار کم و به یک و دو گونه بیشتر نمی‌رسد. در این رخساره درصد اشکال تخت و زینی شکل ارتوفراگمینیدها نیز بیشتر است اما این رخساره‌ها دارای تنوع شکلی و گونه‌ای در دیسکوسیکلین می‌باشند. در این رخساره میزان اکسیژن محیط کاسته شده است و فقط

آستروسیکلینا و تنوع گوناگونی دیسکوسیکلینیدا همراه است.

مدل انتشار روزنه‌داران

در برش مورد مطالعه با توجه به نحوه توزیع روزنه‌داران، انواع با پوسته پورسلانوز در لاگون و قسمت‌های داخلی‌تر لاگون با شوری بیشتر قرار می‌گیرند. مدل انتشار روزنه‌داران در برش مورد مطالعه در شکل ۱۳ نشان داده شده است.

گونه‌های خاصی از نومولیت‌های فرصت‌طلب با نیاز کمتر به اکسیژن به تولید مثل غیرجنسی و بلوغ سریع توانایی زندگی کردن در این محیط را دارند. بدیهی است این شرایط می‌تواند تحت تاثیر کاهش مواد مغذی و سایر عوامل اکولوژیک دیگر نیز ایجاد شود. محیط کم اکسیژن و تولید مثل غیرجنسی و بلوغ سریع توانایی زندگی کردن در این محیط را دارند. محیط کم اکسیژن با تنوع گونه‌ای اندک و حضور یک گونه خاص بتتیک فرصت‌طلب مشخص می‌شود (Flugle 2010). با افزایش عمق پهن شدگی پوسته روزنه‌داران، کاهش فراوانی



شکل ۱۳- انتشار روزنه‌داران بتتیک در رخساره‌های رمپ همکینال برش مورد مطالعه

رینا در پشت و جلوی پج ریف فراوان است (بابازاده ۲۰۰۸). آسلینا به همراه نومولیت‌های گلبولی به همراه ارتو فراگمینیدهای قطور مانند آستروسیکلینا و اکتینوسیکلینا در ابرفوراسلپ بیشترین فراوانی را داشته و در قسمت‌های لاور فوراسلپ اپرکولیناهای بزرگ به همراه نومولیت‌های تخم‌مرغی شکل و دیسکوسیکلین‌ها با تنوع شکلی و گونه‌ای زیاد بیشترین فراوانی را به خود اختصاص می‌دهد (Hallock and Gelenn 1986; Hottinger 2000).

طبق شکل ۱۲ آلئولین‌ها در لاگون باز و شول‌های نومولیتیک به همراه نومولیت‌های گلبولی متوسط قرار می‌گیرند. تجمع فراوان نومولیت می‌تواند نشان‌دهنده بانک‌های نومولیتی با ریف پراکنده باشد (Hallock and Gelenn 1986; Hottinger 2000). نومولیت‌ها در بانک‌ها دارای دو فرم مگالوسفریک و میکروسفریک بوده و از فرایندهای فیزیکی و زیستی پیروی می‌کنند. نومولیت‌های درشت گلبولی ضخیم با فرم مگالوسفریک در ردیف‌های پراکنده با کوویلی رینا به همراه مرجان و جلبک قرمز سنگ فرشی قرار دارند. کوویلی

نتایج

نتیجه این مطالعه نشان می‌دهد در برش مورد مطالعه ده ریزرخساره در یک رمپ هموکلینال تشکیل شده است. ریزرخساره‌های MF1, MF2, MF3 مربوط به قسمت بالایی زون فوتیک فوقانی است، به نحوی که ریزرخساره‌های MF1, MF2, در محیط لاگون و MF3 در بخش سدی shaol قرار دارند. تجمع روزنه‌داران با پوسته پورسلانوزی مثل میلیولید، آلوئولین، اربیتولیتیس، آپرتواربیتولیتس در رخساره‌های مربوط به محیط لاگون رخساره‌های MF1 و MF2 حضور فراوان‌تری دارند. در حالیکه روزنه‌دارانی مثل نومولیت و آسیلینا در ریزرخساره MF3 به چشم می‌خورند.

ریزرخساره‌های MF4, MF5, MF6, MF7 در قسمت‌های تحتانی زون فوقانی قرار می‌گیرند. تجمع نومولیت، روتالیا، کوویلی رینا، لوکارتیا در ریزرخساره‌های مربوط به رخساره‌های سدی شامل ریزرخساره‌های MF3, MF4, MF5, MF6 و در اپر و میدل فور اسلپ شامل رخساره MF7 و MF8 حضور فراوان‌تری دارند.

تجمع آسیلینا به همراه ارتوفراگمینیدا شامل اکتینوسیکلینا، دیسکوسیکلینا، دیسکو سیکلین و اپرکولینا در قسمت‌های عمیق‌تر فور اسلپ تا لاور فور اسلپ و در ریزرخساره‌های MF9 و MF10 دارای فراوانی بیشتر می‌باشد.

در مدل ارائه شده، آلوئولینا و اربیتولیتیس در بخش‌های کم ژرفای حوضه (محیط‌های لاگونی با درجه شوری بالا) و نومولیت‌ها و اپرکولیناها با پوسته هیالین در بخش‌های میانی حوضه با ژرفای متوسط به فراوانی مشاهده می‌شوند. به عبارت بهتر از رخساره‌های داخلی تر رمپ داخلی به سمت دریای آزاد و قسمت‌های عمیق از میزان فراوانی روزنه‌داران پورسلانوزی کاسته شده و به میزان فراوانی روزنه‌داران با پوسته هیالین اضافه می‌شود.

تقدیر و تشکر

این تحقیق با حمایت دانشگاه‌های پیام نور مرکز تهران و اراک انجام شده است. لذا نویسندگان مقاله از مسؤولان محترم این دانشگاه‌ها تشکر و قدردانی می‌نمایند. همچنین، از مسؤولان محترم مجله پژوهش‌های چینه‌نگاری و رسوب‌شناسی و داوران محترم این مجله که امکان چاپ این مقاله را فراهم نمودند تقدیر و تشکر می‌شود.

منابع

- وحدتی، ف. و م.ح. خلقی، ۱۳۶۳، گزارش زمین‌شناسی نقشه خوسف: سازمان زمین‌شناسی کشور، ۱۴۴ صفحه.
- Adabi, M.H., A. Zohdi, A. Ghabeishavi, & H. Amiri-Bakhtiyar, 2008, Applications of nummulitids and other larger benthic foraminifera in depositional environment and sequence stratigraphy: An example from the eocene deposits in Zagros basin, SW Iran: *Facies*, v. 54(4), p.499-512.
- Babazadeh, S.A., 2008, Lower Eocene transgressive successions of Sahlabad province, eastern Iran implication of biostratigraphy and microfacies analysis: *Revue de Paleobiologie, Geneve*, v. 27(2), p.1- 11.
- Babazadeh, S.A., 2010, Benthic foraminifera, microfacies analysis and paleoenvironmental interpretations of Early Eocene shallow water carbonates from Sahlabad province, eastern Iran: *Revue de Paleobiologie, Geneve*, v. 29 (2), p.305-317.
- Barattolo, F., D. Bassi, R. Romano, 2007, Upper Eocene larger foraminiferal-coralline algal facies from the Klokova Mountain (southern continental Greece): *Facies*, v. 53, p. 361-375.
- Beavington-Penney, S.J., A., Racey, 2004, Ecology of extant nummulitids and other larger benthic foraminifera: applications in paleoenvironmental analysis: *Earth Sci. Rev.* v. 67, p. 219-265.
- Buxton, M.W.N., and H.M. Pedley, 1989, Short paper: a standardised model for Tethyan Tertiary carbonates ramps: *J. Geol. Soc. Lond.* v. 146, p. 746-748.
- Carnahan, E.A., A.M. Hoare, P. Hallock, B.H. Lidz, and C.D. Reich, 2009, Foraminiferal assemblages in Biscayne Bay, Florida, USA: responses to urban and agricultural influence in

- (corbieres, france, Pytnees, Spain): Facies, v. 51, p.217-232.
- Schueth, J.D., and T.D. Frank, 2008, Reef foraminifera as bio-indicators of coral reef health: Low Isles Reef, Northern Great Barrier Reef, Australia: *Journal of Foraminiferal Research*, v. 38, p. 11–22.
- a subtropical estuary: *Marine Pollution Bulletin* v. 59, p.221–233.
- Cosovic, V., K. Droben, A. Moro, 2004, Paleoenvironmental model for Eocen foraminiferal limestones of the Adriatic carbonate Platform(Istrian peninsula).
- Dunham, R.I., 1962, Classification of Carbonate Rocks According to Depositional Texture, In: *Classification of Carbonate Rocks*, (Ed. By. W. Ham): AAPG, Mem, v. 1, P. 108-121.
- Flügel, E., 2010, *Microfacies of Carbonate Rocks*: 2nd ed. Springer-Verlag Berlin, Germany. 976 pp.
- Folk, R.L., 1974, *Petrology of Sedimentary Rocks*: Hemphill Publishing, Austin, TX.
- Hallock, P., Glenn, E.C., 1986, Larger foraminifera: a tool for paleoenvironmental analysis of Cenozoic depositional facies: *Palaios* v. 1, p.55– 64.
- Hallock, P., B.H. Lidz, E.M. Cockey-Burkhard, K.B. Donnelly, 2003, Foraminifera as bio-indicators in coral reef assessment and monitoring: the foram index: *Environmental Monitoring and Assessment*, v. 81, p.221–238.
- Hottinger, L., 1983, processes determining the distribution of Larger foraminifera in space and time: *Utrecht micropaleontological Bulletin* v. 30, p. 239-253.
- Hottinger, L., 2000, Functinal morphology of benthic foraminifera shells, envelopes of cells byond measure: *Micropaleontology*, v. 45, p. 57-86.
- Leutenegger, S., 1984, Symbiosis in benthic foraminifera: specificity and host adaptations: *Journal of Foraminiferal Research*, v. 14, p. 16-35.
- Murray, J.W., 1973, *Distribution and Ecology of Living Benthic Foraminiferids* : London, Heinemann Educational Books, 274 pp.
- Murray, J.W., 1991, *Ecology and Palaeoecology of benthic foraminifera*. Longman scientific and Technical: Avon UK, 1-397.
- Pomar, L., M.Brandano, and H. Westphal, 2004, Environmental factors influencing skeletal grain sediment association: a dritical review of Miocene examples from the western Mediterranean: *Sedimentology*, v. 51, p627-651.
- Racey, A., H.W. Bailey, D. Beckett, L.T. Gallagher, M.J. Hamfton, and J., Mcquilken, 2001, The petroleum geology of the Early Eocene El Garia Formation in the Hasdrubal Field, Offshore Tunisia: *Journ. Petrol. Geol.*, v. 24(1), p.29-53.
- Rasser, M.W. C. Scheibner and M. Mutti, 2005, A Palaeoenvironmental standard section for Early ilerdian tropical varbonate factorsies